

УДК 519.248.621.384.8

Многокритериальная оптимизация магнитных масс-анализаторов с однородным полем.  
Абакумова Е.В., Саченко В.Д., Туртия С.Б. // Научное приборостроение. Электронно-  
ионная оптика. Л.: Наука, 1989, с. 45–54.

Исследуется вопрос оптимизации статических магнитных масс-анализаторов с одно-  
родным полем по нескольким критериям одновременно. В качестве критериев выбраны  
разрешающая способность, угол наклона, кривизна линии фокусов и коэффициент  
дисперсии по массе, представлены варианты ионно-оптических систем магнитных сек-  
торных масс-анализаторов, которые могут быть применены при разработке статиче-  
ских масс-спектрометров. Лит. – 7 назв., ил. – 1.

## МНОГОКРИТЕРИАЛЬНАЯ ОПТИМИЗАЦИЯ МАГНИТНЫХ МАСС-АНАЛИЗАТОРОВ С ОДНОРОДНЫМ ПОЛЕМ

Магнитные масс-анализаторы с однородным полем нашли широкое применение в масс-спектрометрии и в различных вариантах используются в качестве основного диспергирующего элемента масс-спектрометра, определяя все важнейшие его характеристики – разрешающую способность, пропускание, диапазон масс и ряд других параметров. Теоретическое изучение фокусирующих и диспергирующих свойств таких анализаторов началось давно и к настоящему времени известно большое разнообразие вариантов их построения [1–3]. Однако на практике используются (включая и современные магнитные масс-спектрометры) лишь отдельные решения, предложенные много лет назад.

Объясняется это, по-видимому, известным разрывом между теоретическими работами, посвященными, в большинстве своем, изучению тех или иных аналитических свойств магнитных анализаторов, и реальными проблемами, стоящими перед разработчиками-конструкторами при выборе наиболее подходящего технического решения, удовлетворяющего совокупности альтернативных требований. В отсутствии возможности оптимального выбора решающими аргументами в пользу выбиравшего решения выступают отдельные общепринятые факторы, что и предопределяет ограниченное число используемых на практике ионно-оптических систем. Так, например, широкое использование ионно-оптической системы Кросса (Cross W.S., RSI 1951, 22, № 10, p.717-722) обусловлено сравнительно большой величиной коэффициента дисперсии и наличием стигматической фокусировки, хотя упомянутые достоинства сочетаются с невысоким качеством фокусировки (следствие больших величин aberrационных коэффициентов, присущих указанной системе), малым углом наклона линии фокусов к оптическому лучу и большой искривленностью последней (что является особенно большим недостатком в многоколлекторном варианте анализатора). Справедливости ради отметим, что указанная ионно-оптическая система (ИОС) была впервые предложена в то время, когда теория магнитных анализаторов еще была недостаточно развита, чтобы можно было учесть и скорректировать перечисленные недостатки. Однако современный уровень требований к магнитным масс-спектрометрам с одновременной регистрацией нескольких линий масс-спектра анализируемого вещества, в особенности требований по точности измерения массовых чисел и увеличения их диапазона визирует необходимость совершенствовать качество фокусировки ионных пучков на линии фокусов и улучшать форму последней. Решению этих задач и посвящена эта статья.

Для решения поставленной задачи можно использовать, в принципе, методы однокритериальной оптимизации [4], однако они обладают весьма существенным недостатком: результат оптимизации полностью определяется субъективно устанавливаемыми значениями весовых коэффициентов критериев, входящих в состав целевой функции, и, как правило, отражает уровень желаемого компромисса между величинами критериев в случае, когда они альтернативны; получаемое множество компромиссных решений не позволяет оценить реальную "стоимость" устанавливаемых критериев и их взаимное влияние. В связи с отмеченным для решения поставленной задачи наиболее приемлемой представляется непосредственно многокритериальная постановка, позволяющая в качестве решения получить множество всех возможных компромиссных вариантов и выяснить значимость учитываемых в процессе оптимизации критериев.

Выберем в качестве критериев оптимизации ИОС следующие величины: разрешающую способность  $R$ , коэффициент дисперсии по массе  $D$ , угол наклона линии фокусов  $\varphi$ , среднеквадратичное отклонение линии фокусов от прямой в заданном диапазоне одновременно регистрируемых масс  $\sigma$  и сформулируем основные положения теории многокритериальной оптимизации применительно к рассматриваемому случаю. Пусть  $X \subset R^n$  множество варьируемых переменных (рисунок): входное ( $\ell'$ ) и выходное ( $\ell''$ ) плечи анализатора, угол отклонения оптической оси в магнитном поле  $\varphi$ , углы наклона входной и выходной границ поля  $\varepsilon'$  и  $\varepsilon''$  и радиусы их кривизн  $r'$ ,  $r''$ . Обозначим  $Y \subset R^m$  — множество значений критериев оптимизации:  $Y = Y_1, \dots, Y_m$ ;  $Y_i = f_i(x)$ ,  $x \in X$ ,  $i = 1, m$ . Для удобства сформируем все критерии таким образом, чтобы целью многокритериальной оптимизации являлась минимизация компонент целевой вектор-функции:

$$F(x) = \langle f_1(x), \dots, f_m(x) \rangle \rightarrow \min, x \in X. \quad (1)$$

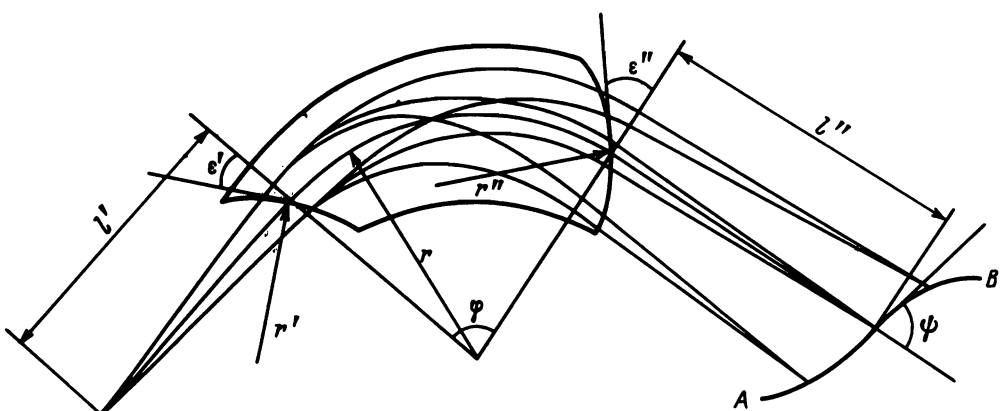


Схема магнитного анализатора

В соответствии со сказанным выберем  $f_1 = -R$ ,  $f_2 = -\psi$ ,  $f_3 = -D$ ,  $f_4 = \sigma$ . Множество решений этой задачи принято называть множеством эффективных решений  $E$ , а множество  $\mathcal{P} = F(E)$  – множеством Парето [5]. Следует отметить, что в отличие от случая однокритериальной оптимизации, где минимум целевой функции на заданном множестве понимается как наименьшее значение этой функции в рассматриваемой области, в случае векторной оптимизации множество решений задачи (1) понимается как множество значений  $x^* \in E$ , соответствующих значениям вектор-функции  $F(x)$ , которые нельзя уменьшить на множестве  $X$  одновременно по всем компонентам. То есть не существует  $x^* \in X : x^* \neq x^*, f_i(x^*) \leq f_i(x^*)$  для всех  $i = \overline{1, m}$  одновременно, причем по одному из критериев имеет место строгое неравенство. Второй этап оптимизации состоит в выборе из полученного множества Парето тех компромиссных решений, которые субъективно в наибольшей степени отвечают решению конкретной практической задачи. На этом этапе, в котором непосредственно участвует конструктор-разработчик, учитываются либо дополнительные условия, не входящие в критерий оптимизации, либо уровень допустимых вариаций критериев существенно ограничивается; в последнем случае возможна автоматизация выбора приемлемых решений путем сравнительного анализа с помощью ЭВМ полученных на первом этапе оптимальных в указанном выше смысле решений и их машинной отбраковки.

#### Математическая формулировка критерии в

Разрешающая способность масс-анализатора определяется формулой [6]:

$$R = \frac{D \cdot r}{M S_u + S_{np} + S_{ab}},$$

где  $S_u$  – ширина выходной щели источника,  $S_{np}$  – ширина щели приемника,  $M$  – коэффициент оптического увеличения,  $D$  – коэффициент дисперсии по массе,  $r$  – радиус осевой орбиты масс-анализатора,  $S_{ab}$  – aberrационная ширина:

$$S_{\alpha\sigma} = \max_{\alpha} y(\alpha) - \min_{\alpha} y(\alpha), \quad \alpha = \{\alpha_i, i = \overline{1, 6}\},$$

где  $y(\alpha)$  – ордината следа траекторий в плоскости приемника,  $\alpha_i$  – начальные данные, характеризующие эмиттанс пучка на выходе из источника:  $\alpha_1, \alpha_2$  – тангенсы углов вылета, соответственно, в горизонтальном и вертикальном направлениях,  $\alpha_3, \alpha_4$  – относительные значения горизонтальной и вертикальной координат (в единицах радиуса  $r$ ),  $\alpha_5$  и  $\alpha_6$  – относительные энергия и масса. Величина  $y(\alpha)$  представляется в виде полипараметрического степенного ряда:

$$y(\alpha) = \sum_{i=2,4} \Delta_i \alpha_i + \sum_{i,j=2,4} \Delta_{ij} \alpha_i \alpha_j + \sum_{i,j=2,4} \Delta_{ij} \alpha_i \alpha_j^2 + \dots,$$

в котором коэффициенты  $\Delta_i$ ,  $\Delta_{ij}$  вычисляются стандартным путем [6]. Для случая магнитного анализатора с наклонными и криволинейными границами они выражаются следующими формулами:

$$\Delta_{i,ij} = \mu_{i,ij} + \lambda'' \nu_{i,ij}$$

$$\mu_1 = \mu_{1a} + \lambda' \mu_{1b}$$

$$\nu_1 = \nu_{1a} + \lambda' \nu_{1b}$$

$$\mu_{1a} = \sin \varphi$$

$$\nu_{1a} = \frac{\cos(\varphi - \varepsilon'')}{\cos \varepsilon''}$$

$$\mu_{1b} = \frac{\cos(\varphi - \varepsilon')}{\cos \varepsilon'}$$

$$\nu_{1b} = -\frac{\sin(\varphi - \varepsilon' - \varepsilon'')}{\cos \varepsilon' \cos \varepsilon''}$$

$$\mu_3 = \mu_{1b}$$

$$\nu_3 = \nu_{1b}$$

$$\mu_5 = \frac{1}{2}(1 - \cos \varphi)$$

$$\nu_5 = \frac{1}{2} \left( \frac{\sin(\varphi - \varepsilon'')}{\cos \varepsilon''} + \tan \varepsilon'' \right)$$

$$\mu_6 = \mu_5$$

$$\nu_6 = \nu_5$$

$$\mu_{11} = \mu_{11a} + \lambda' \mu_{11b} + \lambda'^2 \mu_{11c}$$

$$\mu_{11a} = \left( \frac{\sin^2 \varphi}{\cos^2 \varepsilon''} - 1 + \cos \varphi \right) / 2$$

$$\mu_{11b} = \frac{\sin \varphi \cdot \cos(\varphi - \varepsilon')}{\cos \varepsilon' \cos^2 \varepsilon''} - \tan \varepsilon' \left( 1 - \frac{\cos(\varphi - \varepsilon')}{\cos \varepsilon'} \right)$$

$$\mu_{11c} = -\frac{1}{2} \frac{\sin(\varphi - \varepsilon' - \varepsilon'')}{\cos \varepsilon' \cos \varepsilon''} \cdot \frac{\sin(\varphi - \varepsilon' + \varepsilon'')}{\cos \varepsilon' \cos \varepsilon''} - \frac{\sin \varphi}{2 \cos^3 \varepsilon'} \cdot \varepsilon'$$

$$\nu_{11} = \nu_{11a} + \lambda' \nu_{11b} + \lambda'^2 \nu_{11c}$$

$$\nu_{11a} = -\frac{1}{2} \left( \tan \varepsilon'' \frac{\cos^2(\varphi - \varepsilon'')}{\cos^2 \varepsilon''} + \frac{\sin(\varphi - \varepsilon'')}{\cos \varepsilon''} \right) - \frac{\sin^2 \varphi}{2 \cos^3 \varepsilon''} \cdot \varepsilon''$$

$$\nu_{11b} = -\left( \tan \varepsilon' - \tan \varepsilon'' \frac{\cos(\varphi - \varepsilon'')}{\cos \varepsilon''} \right) \frac{\sin(\varphi - \varepsilon' - \varepsilon'')}{\cos \varepsilon' \cos \varepsilon''} - \frac{\sin \varphi \cdot \cos(\varphi - \varepsilon')}{\cos \varepsilon' \cos^3 \varepsilon''} \cdot \varepsilon''$$

$$\nu_{11c} = -\frac{1}{2} \left( \tan \varepsilon'' \frac{\sin^2(\varphi - \varepsilon' - \varepsilon'')}{\cos^2 \varepsilon' \cos^2 \varepsilon''} + \frac{\cos(\varphi - \varepsilon'')}{\cos \varepsilon''} \cdot \frac{\varepsilon'}{\cos^3 \varepsilon'} + \frac{\cos^2(\varphi - \varepsilon')}{\cos^2 \varepsilon'} \frac{\varepsilon''}{\cos^3 \varepsilon''} \right)$$

$$\mu_{13} = \mu_{11b} + 2 \lambda' \mu_{11c}$$

$$\nu_{13} = \nu_{11b} + 2 \lambda' \nu_{11c}$$

$$\mu_{33} = \mu_{11c}$$

$$\nu_{33} = \nu_{11c}$$

$$\mu_{15} = \mu_{15a} + \lambda' \cdot \mu_{15b}$$

$$\mu_{15a} = \frac{\sin \varphi (1 - \cos \varphi)}{2 \cos^2 \varepsilon''}$$

$$\mu_{15b} = \frac{1}{2} + \frac{\cos(\varphi - \varepsilon')}{2 \cos \varepsilon'} \left( \operatorname{tg}^2 \varepsilon'' - \frac{\cos \varphi}{\cos^2 \varepsilon''} \right)$$

$$v_{15} = v_{15a} + \lambda' \cdot v_{15b}$$

$$v_{15a} = -\frac{1}{2} \left[ \operatorname{tg} \varepsilon'' \frac{\cos(\varphi - \varepsilon'')}{\cos \varepsilon''} \cdot \left( \frac{\sin(\varphi - \varepsilon'')}{\cos \varepsilon''} + \operatorname{tg} \varepsilon'' \right) + (1 - \cos \varphi) \frac{\sin \varphi}{\cos^3 \varepsilon''} \cdot \delta'' \right]$$

$$v_{15b} = \frac{1}{2} \frac{\sin(\varphi - \varepsilon' - \varepsilon'')}{\cos \varepsilon' \cos \varepsilon''} \left[ 1 + \operatorname{tg} \varepsilon'' \left( \frac{\sin(\varphi - \varepsilon'')}{\cos \varepsilon''} + \operatorname{tg} \varepsilon'' \right) \right] - \frac{1}{2} \frac{\cos(\varphi - \varepsilon')(1 - \cos \varphi)}{\cos \varepsilon' \cos^3 \varepsilon''} \delta''$$

$$\mu_{16} = \mu_{15}$$

$$v_{16} = v_{15}$$

$$\mu_{35} = \mu_{15b}$$

$$v_{35} = v_{15b}$$

$$\mu_{36} = \mu_{35}$$

$$v_{36} = v_{35}$$

$$\mu_{55} = \frac{1}{8} (1 - \cos \varphi) \left( \frac{1 - \cos \varphi}{\cos^2 \varepsilon''} - 3 \right)$$

$$v_{55} = -\frac{1}{8} \left[ \left( \frac{\sin(\varphi - \varepsilon'')}{\cos \varepsilon''} + \operatorname{tg} \varepsilon'' \right) \left[ \operatorname{tg} \varepsilon'' \left( \frac{\sin(\varphi - \varepsilon'')}{\cos \varepsilon''} + \operatorname{tg} \varepsilon'' \right) + 3 \right] + \frac{(1 - \cos \varphi)^2}{\cos^3 \varepsilon''} \delta'' \right]$$

$$\mu_{56} = \frac{1}{8} (1 - \cos \varphi) \left( \frac{1 - \cos \varphi}{\cos^2 \varepsilon''} - 1 \right)$$

$$v_{56} = -\frac{1}{4} \left( \operatorname{tg} \varepsilon'' + \frac{\sin(\varphi - \varepsilon'')}{\cos \varepsilon''} \right) \left[ \operatorname{tg} \varepsilon'' \left( \operatorname{tg} \varepsilon'' + \frac{\sin(\varphi - \varepsilon'')}{\cos \varepsilon''} \right) + 1 \right]$$

$$\mu_{66} = \mu_{55}$$

$$v_{66} = v_{55}$$

$$\mu_{22} = \mu_{22a} + \lambda' \cdot \mu_{22b} + \lambda'^2 \cdot \mu_{22c}$$

$$\mu_{22a} = -\frac{1}{2} 4^2 \sec^2 \varepsilon'' - \frac{1}{2} (1 - \cos \varphi)$$

$$\mu_{22b} = \operatorname{tg} \varepsilon' \left( 1 - \frac{\cos(\varphi - \varepsilon')}{\cos \varepsilon'} \right) - \sec^2 \varepsilon'' \cdot \varphi (1 - 4 \operatorname{tg} \varepsilon')$$

$$\mu_{22c} = -\frac{1}{2} \operatorname{tg}^2 \varepsilon' \left( 1 - \frac{\cos(\varphi - \varepsilon')}{\cos \varepsilon'} \right) + \frac{1}{2} \frac{\cos(\varphi - \varepsilon')}{\cos^3 \varepsilon'} - \frac{1}{2} \frac{(1 - 4 \operatorname{tg} \varepsilon')^2}{\cos^2 \varepsilon''} + \frac{\sin \varphi}{2 \cos^3 \varepsilon'} \delta'$$

$$v_{22} = v_{22a} + \lambda' v_{22b} + \lambda'^2 v_{22c}$$

$$v_{22a} = -\frac{1}{2} \left[ \frac{\sin(\varphi - \varepsilon'')}{\cos \varepsilon''} + \operatorname{tg} \varepsilon'' - \operatorname{tg}^2 \varepsilon'' \varphi (2 - 4 \operatorname{tg} \varepsilon'') - \frac{4^2}{\cos^3 \varepsilon''} \delta'' \right]$$

$$v_{22b} = \operatorname{tg} \varepsilon' \left( \frac{\sin(\varphi - \varepsilon' - \varepsilon'')}{\cos \varepsilon' \cos \varepsilon''} + \operatorname{tg} \varepsilon'' \right) + \operatorname{tg}^2 \varepsilon'' \left[ 1 - 24 \operatorname{tg} \varepsilon' - 4 \operatorname{tg} \varepsilon'' (1 - 4 \operatorname{tg} \varepsilon') \right] + \frac{4 (1 - 4 \operatorname{tg} \varepsilon')}{\cos^3 \varepsilon''} \delta''$$

$$\nu_{22c} = -\frac{1}{2} \left[ \operatorname{tg}^2 \epsilon' \left( \frac{\sin(\psi - \epsilon' - \epsilon'')}{\cos \epsilon''} + \operatorname{tg} \epsilon'' \right) + \operatorname{tg}^2 \epsilon'' (1 - \operatorname{tg} \epsilon') (2 \operatorname{tg} \epsilon' + \operatorname{tg} \epsilon'' (1 - \operatorname{tg} \epsilon')) + \frac{\sin(\psi - \epsilon' - \epsilon'')}{\cos^3 \epsilon' \cdot \cos \epsilon''} - \frac{\cos(\psi - \epsilon'')}{\cos^3 \epsilon' \cos \epsilon''} \cdot \delta' - \frac{(1 - \operatorname{tg} \epsilon')^2 \delta''}{\cos^3 \epsilon''} \right]$$

$$\mu_{24} = \mu_{22b} + 2\lambda' \mu_{22c}$$

$$\nu_{24} = \nu_{22b} + 2\lambda' \nu_{22c}$$

$$\mu_{44} = \mu_{22c}$$

$$\nu_{44} = \nu_{22c}$$

$$\mu_2 = \psi + \lambda' (1 - \operatorname{tg} \epsilon')$$

$$\nu_2 = 1 - \operatorname{tg} \epsilon'' - \lambda' [\operatorname{tg} \epsilon' (1 - \operatorname{tg} \epsilon'') + \operatorname{tg} \epsilon']$$

$$\mu_4 = 1 - \operatorname{tg} \epsilon'$$

$$\nu_4 = -\operatorname{tg} \epsilon' (1 - \operatorname{tg} \epsilon'') - \operatorname{tg} \epsilon''$$

$$\lambda' = \frac{\ell'}{r}, \quad \lambda'' = \frac{\ell''}{r}, \quad \delta' = \frac{r}{r'}, \quad \delta'' = \frac{r}{r''}.$$

Отметим, что коэффициенты  $\Delta_2$  и  $\Delta_4$  определяют высоту пучка ионов в плоскости щели приемника:

$$z = \Delta_2 \alpha_2 + \Delta_4 \alpha_4.$$

Коэффициенты дисперсии  $D$  и оптического увеличения  $M$  определяются, соответственно, формулами для  $|\Delta_6|$  и  $|\Delta_3|$ . Выражение для тангенса угла наклона линии фокусов хорошо известно [6]:

$$\operatorname{tg} \psi = \frac{\Delta_6}{\Delta_3 \cdot \Delta_{16}}. \quad (2)$$

Уравнение линии фокусов (на рисунке — кривая AB) в общем случае, когда границы магнитного поля искривлены и неортогональны к оптической оси анализатора, можно записать в следующем параметрическом виде (вывод приведенных ниже формул опущен ввиду громоздкости выкладок):

$$\begin{cases} x(\rho) = -\alpha \sin\left(\epsilon'' - \frac{\theta}{2}\right) + \lambda_\rho'' \cdot \cos(\psi_\rho - \psi) \\ y(\rho) = \alpha \cos\left(\epsilon'' + \frac{\theta}{2}\right) - \lambda_\rho'' \cdot \sin(\psi_\rho - \psi), \end{cases} \quad (3)$$

где

$$\alpha = -2(r''/r) \cdot \sin(\theta/2),$$

$$\lambda_\rho'' = \frac{\lambda' \frac{\cos(\psi_\rho - \epsilon')}{\cos \epsilon'} + \rho \sin \psi_\rho}{\lambda' \cdot \sin(\psi_\rho - \epsilon' - \epsilon_\rho'') - \frac{\cos(\psi_\rho - \epsilon_\rho'')}{\cos \epsilon_\rho''}},$$

$$\psi_\rho = \arccos \left[ \frac{1}{\rho} (\rho - 1 + \cos \psi - 2(r''/r) \sin \frac{\theta}{2} \cos(\phi - \frac{\theta}{2})) \right],$$

$$\varepsilon''_p = \psi_p - \psi + \varepsilon'' + \theta, \quad \phi = \psi - \varepsilon'', \quad \theta = 2 \operatorname{arctg} \left\{ \frac{A - \sqrt{B}}{C} \right\},$$

$$A = (\tau''/\tau) (\cos \varepsilon'' + (\rho - 1) \cos \phi),$$

$$B = (\tau''/\tau)^2 (\cos \varepsilon'' + (\rho - 1) \cos \phi)^2 + (\rho - 1)(1 - \cos \psi) \cdot C,$$

$$C = 2(\tau''/\tau) (\tau''/\tau + \sin \varepsilon'' - (\rho - 1) \sin \phi) - (\rho - 1) \cdot (1 - \cos \psi).$$

В уравнении (3) координата  $x$  отсчитывается вдоль оптической оси,  $y$  – в поперечном к оптической оси направлении, начало координат выбрано в гауссовой плоскости, соответствующей главной оптической оси ( $\rho = 1$ ). Параметр  $\rho$  есть относительное значение радиуса кривизны траектории (в единицах радиуса кривизны главной оптической оси), соответствующей массе иона, отличной от массы иона, движущегося по главной оптической оси, так что интервал значений  $[\rho_1, \rho_2]$  характеризует ширину диапазона анализируемых масс.

Степень искривленности линии фокусов в заданном диапазоне  $[\rho_1, \rho_2]$  определим величиной  $\delta$ :

$$\delta = \left( \int_{\rho_1}^{\rho_2} |y(\rho) - x(\rho) \operatorname{tg} \psi| x'(\rho) d\rho \right) r.$$

Таким образом, задача многокритериальной оптимизации

$$R, \psi, D \rightarrow \max, \quad \delta \rightarrow \min$$

математически сформулирована.

Поиск множества Парето осуществлялся с использованием метода ветвящегося аддитивного случайного поиска ВАСП [7] (см. также статью С.Б. Турия "Оптимизация нескольких критериев с помощью случайного поиска" в настоящем сборнике), сочетающего преимущества метода наилучшей пробы, адаптацию функции плотности поиска с выделением перспективных областей и более интенсивного поиска в них, а также ветвление процесса поиска. Последнее позволяет увеличить представительность выборки из множества Парето, особенно при решении задач оптимизации овражных и сильно осциллирующих функций, к которым принадлежат наши критерии, в особенности величина  $R$ . В качестве датчиков случайных чисел использовалась ЛП<sub>т</sub> – последовательность. Применение ее для генерации случайных чисел существенно улучшает равномерность поиска по всему множеству  $X$ , не приводя к заметному замедлению скорости поиска методом ВАСП.

## Результаты оптимизации

Результаты оптимизации сведены в таблицу. В первой ее строке представлены параметры ионно-оптической системы магнитного анализатора, применяющейся в настоящее время во многих современных приборах (МАТ 261 и его последующие модификации, МИ 1201 и его модификации, МИ 1320 и др.). Этот анализатор, как уже указывалось, обладает стигматической фокусировкой ( $\Delta_1 = \Delta_2 = 0$ ). Из таблицы видно, что коэффициенты его aberrаций весьма значительны и, как следствие, его разрешающая способность невысока. Обращает на себя внимание малый угол наклона и значительная кривизна линии фокусов, что является большим недостатком, если учесть, что указанный масс-анализатор используется в многоколлекторном режиме. Представленные в таблице варианты показывают, что эти величины можно значительно улучшить. При решении был выбран диапазон значения для  $\rho$ , равный  $(0.96 \pm 1.04)$ , что соответствует диапазону масс  $M = M_0(1 \pm 8\%)$ .

Варианты ИОС магнитного анемометра

Таблица

<i>n,n.</i>	<i>R</i>	<i>ψ</i>	<i>σ</i>	<i>Δ</i>	<i>D</i>	<i>M</i>	<i>D</i>	<i>ψ</i>	<i>ℓ'</i>	<i>ℓ''</i>	<i>ε'</i>	<i>ε''</i>	<i>θ'</i>	<i>θ''</i>	<i>Δ<sub>11</sub></i>	<i>Δ<sub>22</sub></i>	<i>Δ<sub>24</sub></i>	<i>Δ<sub>44</sub></i>	<i>Δ<sub>2</sub></i>	<i>Δ<sub>4</sub></i>	
1	666.	26.5	.88	3.2	2.0	1.0	2.0	.90	400.	400.	26.5	26.5	0.0	0.0	-4.0	-6.0	-3.6	-1.1	0.0	-1.0	
2	400.	84.8	.57	2.4	2.4	1.4	1.71	.99	238.	480.	38.	24.	.92	.92	-10.5	1.3	.00	-.4	0.0	-4.9	
3	538.	65.8	.50	4.7	1.37	.64	2.14	.88	370.	331.	40.	4.2	-.57	.94	-6.1	-4.9	-5.7	-1.9	0.0	-1.6	
4	816.	63.	.71	2.6	2.5	1.6	1.56	.97	273.	450.	23.	33.	-.58	.96	-5.4	.16	-3.9	-2.2	0.0	-1.1	
5	875.	52.9	1.14	3.9	2.7	1.9	1.42	.97	244.	498.	21.4	33.	-.48	.79	-5.0	.45	-3.2	-2.2	0.0	-1.2	
6	943	46.4	.41	1.4	1.35	.61	2.2	.91	368.	309.	40.	5.5	-.91	.40	-1.8	-6.5	-6.8	-2.3	0.0	-4.6	
7	995.	49.4	.86	3.2	2.5	1.7	1.47	.97	260.	445.	19.2	35.	-.56	.82	-4.4	.05	-3.3	-2.0	0.0	-4.0	
8	1040.	44.4	.50	2.2	2.5	1.5	1.67	.96	271.	491.	30.	28.	.23	.95	.20	-9.2	-2.3	-1.3	0.0	-4.4	
9	1430.	36.0	.22	.80	1.23	.50	2.46	.98	392.	238.	40.	7.0	-.74	-.26	-.44	-6.0	-5.2	-1.9	0.0	-4.3	
10	1600.	37.4	1.6	5.2	2.6	2.0	1.3	.95	241.	441.	9.4	37.5	-.84	.72	-2.7	-14	-3.1	-2.2	0.0	-87	
11	1700.	35.5	1.45	3.8	2.0	1.34	1.5	.86	2.2	382.	351.	5.4	40.	-.62	.90	-2.5	.17	-2.8	-1.3	0.0	-56
12	2168.	28.0	.10	.40	1.23	.53	2.3	.91	3.3	395.	274.	40.	3.0	.23	-.82	-.96	-2.4	-.98	-.85	0.0	-4.4
13	2880.	24.6	.18	.74	1.44	.66	2.2	.86	0	395.	355.	38.	6.0	.24	-.74	-1.3	-10.4	-3.6	-1.3	0.0	-4.2
14	4567.	26.0	.02	.08	1.15	1.2	.94	98.4	112.	260.	15.5	-5.4	-.86	-.92	-.33	-5.6	-3.0	-1.4	3.3	.22	
15	3086.	76.	.20	.77	.74	.87	.85	.88.	103.	216.	23.	-28.	-.69	.93	-1.3	.28	-.23	-.85	3.6	.10	
16	3930.	68.	.25	.85	.81	1.03	.79	.89.	104.	219.	5.9	-23.	-.45	.95	-1.12	-.007	.02	-.58	4.0	1.1	
17	4102.	43.4	.42	1.5	.66	.34	2.13	.88	370.	158.	39.	29.	0.0	.48	.22	-1.9	-1.2	-.5	1.2	-.98	
18	4549.	38.	.03	.12	.70	.70	1.0	.94	124.	177.	27.	-30.	-.36	.005	-.09	-2.0	-.82	-.74	3.2	-.2	
19	4564.	44.	.46	1.7	.65	.33	2.0	.87	353.	155.	35.	-30.	0.0	.26	-.40	-2.0	-1.4	-.5	1.9	-.54	
20	4963.	63.	.14	.50	.72	.87	.88	.95	102.	174.	5.7	-28.	-.76	.93	-.78	-.36	-.30	-.60	3.9	1.4	
21	5016.	35.	.06	.27	.69	.68	1.0	.76.	192.	222.	24.7	-28.	.56	-.08	.006	-2.0	-1.0	-.43	3.3	.11	
22	5190.	61.	.95	3.5	2.0	2.2	.94	.88.	222.	428.	-9.2	30.0	-.98	-.75	-.64	-.69	-2.4	-1.8	1.9	.05	
23	5387.	43.	.50	2.4	.65	.38	1.71	.86.	309.	162.	34.3	-30.	0.0	.22	0.0	-.4	-.2	-.5	2.4	-.56	
24	6500.	28.6	1.4	4.0	1.94	2.2	.88	.84.	212.	395.	-14.	30.	-.94	.82	-.62	-.11	-4.6	-1.5	2.0	.21	
25	7928.	27.4	1.06	3.8	1.94	2.2	.88	.82.	222.	409.	-11.3	30.	-.97	.80	-.34	-2.1	-1.7	2.0	.49	.49	
26	9450.	49.	.18	.70	.61	.89	.68	.74.	160.	182.	11.6	-30.	-.47	.94	.44	-.32	-.46	4.6	2.44		

В четвертом столбце таблицы приведены значения величины максимального отклонения линии фокусов в указанном диапазоне от прямой (касательной в точке  $\rho = 1$ ):

$$\Delta = \max_{i=1,9} |y(\rho_i) - x(\rho_i) \operatorname{tg} \psi| \cdot r,$$

$$\rho_i = \rho_1 + (i-1) \cdot 0.01.$$

Линейные величины  $\delta$ ,  $\Delta$ ,  $\ell'$  и  $\ell''$  даны в таблице в миллиметрах, угловые величины  $\psi$ ,  $\varphi$ ,  $\epsilon'$ ,  $\epsilon''$  – в градусах. Первые тринадцать вариантов ИОС рассчитаны в условиях стигматической фокусировки. В таблице они представлены, начиная со второго, в порядке возрастания величины разрешающей способности  $R$ . Последняя рассчитывалась в соответствии с приведенной выше формулой при  $\alpha_1 = 0.015$ ,  $\alpha_2 = \alpha_4 = 0.01$ ,  $\alpha_3 = 0.0001$ . В вариантах 2 и 3 величина  $R$  несколько меньше, чем в варианте 1, однако значительно увеличен угол наклона линии фокусов, что создает конструктивные удобства размещения коллекторов, и уменьшена кривизна линии фокусов. Во всех последующих вариантах величина  $R$  значительно больше, чем в первом случае, что является следствием проведенной коррекции aberrаций. Кроме того, значительно предпочтительнее выглядят и величины  $\psi$ ,  $\delta$  и  $\Delta$ . Анализ величин  $D$  и  $D/M$  показывает, что эти параметры в значительной мере альтернативны, как остальным критериальным величинам ( $R$ ,  $\psi$ ,  $\delta$ ), так и между собой. Поэтому выбор того или иного варианта зависит от конкретного назначения разрабатываемого прибора.

При расчете вариантов 14–26 условие стигматической фокусировки было опущено. Это существенно расширило возможности многокритериальной оптимизации, о чем свидетельствуют полученные характеристики. Однако и здесь отчетливо прослеживается альтернативность достижения наилучших результатов по каждому из критериев выбора. Так, например, видна необходимость компромисса между величинами  $D$ ,  $D/M$ ,  $R$ . В частности, не удалось найти варианта со значением  $D = 2$  и  $D/M = 2$  (или близкого к нему), у которого разрешающая способность при указанных значениях параметров пучка превысила бы  $R = 666$ , (первая строка таблицы). Однако можно значительно увеличить и величину  $D$  и величину  $R$ , если принять возможное снижение величины  $D/M$ . Если же сохранить величину  $D/M$  (варианты 17, 19 и др.) и допустить снижение величины коэффициента дисперсии, то можно существенно увеличить разрешающую способность и угол наклона линии фокусов к оптической оси, уменьшив при этом кривизну линии фокусов.

В целом же можно отметить, что многокритериальная оптимизация дала возможность получить широкий спектр компромиссных вариантов ионно-оптических систем, оптимальных по совокупности критериев.

## ЛИТЕРАТУРА

1. Кельман В.М., Родникова И.В. Статические масс-спектрометры. Алма-Ата, 1985.
2. Лепорский Б.Б., Залецкий Э.И., Ерохин В.Н.//ЖТФ. 1973, 43, № 4. С.871–873.
3. Галль Р.Н., Саченко В.Д.//ЖТФ. 1980, 50, № 4. С.824–830.
4. Александров М.Л., Галль Л.Н., Саченко В.Д.//Научные приборы. 1976, № 12–С.23–25.

5. Соболь И.М., Статников Р.Б. Выбор оптимальных параметров в задачах со многими критериями. М.: Наука, 1981.

6. Сысоев А.А., Чупахин М.С. Введение в масс-спектрометрию. М.: Атомиздат, 1977.

7. Туртия С.Б.//АСУ и приборы автоматики. Харьков, 1986, № 77.-С.16-21.